

마이크로파에 의한 생분해성 β -TCP/PLGA 복합체의 제조시 β -TCP 첨가량에 따른 영향

진형호 · 민상호 · 박홍채 · 윤서영[†]
부산대학교 재료공학부

The Influence of β -TCP Content on the Preparation of Biodegradable β -TCP/PLGA Composites Using Microwave Energy

Hyeong-Ho Jin, Sang-Ho Min, Hong-Chae Park and Seog-Young Yoon[†]

School of Materials Science and Engineering, Pusan National University, Busan, 609-735, Korea

(2005년 11월 3일 접수, 2005년 11월 30일 최종수정일 접수)

Abstract Biodegradable β -tricalcium phosphate (β -TCP)/poly(lactide-co-glycolide) (PLGA) composites were synthesized by in-situ polymerization with microwave energy. The influence of the β -TCP content in β -TCP/PLGA composites on the molecular weight, crystallinity, microstructure and mechanical properties was investigated. As the molecular weight of composites decreased, the β -TCP content increased up to 10 wt.%, while the excess addition of the β -TCP content above 10 wt.% the molecular weight increased with increasing of the β -TCP content. This behavior would be due to the superheating effect or nonthermal effect induced by microwave energy. It was found that the bending strength and Young's modulus of the β -TCP/PLGA composites was proportional to the molecular weight of PLGA. The bending strength of the β -TCP/PLGA composites ranged from 18 to 38 MPa, while Young's modulus was in the range from 2 to 6 GPa.

Key words β -TCP/PLGA, composites, microwave, biodegradation, in-situ polymerization.

1. 서 론

분명의 발달에 의해 각종 진단 및 재해 등에 의한 신체의 손상이 증가함에 따라 다양한 재료들이 의학적으로 활용되고 있다. 골접합재로는 Ti 합금, stainless steel 등이 사용되어 왔으나 골흡수(bone resorption), stress shielding 등의 문제점¹⁾으로 인해 최근, 골접합재로 poly(lactide) (PLA), poly(glycolide) (PGA), poly(propylene fumarate) (PPF), poly(ethylene oxide) (PEO) 및 이들의 공중합체 등이 생분해성 고분자에 대한 연구가 활발히 진행되고 있다.²⁾ 생분해성 고분자는 기존의 금속재료에 비해 그 특성이 우수하고 골접합재 제거를 위한 이차수술이 필요 없는 장점이 있으나, 흡수성 골접합재로 사용함에 있어서 중요한 두 가지의 문제점이 있는데, 이는 약한 기계적 특성과 생체저항성이다.³⁾ 대부분의 흡수성 고분자는 우수한 분해성에도 불구하고 약한 기계적 특성 때문에 체내에 고려증이 발생하는 부분에는 사용되지 못하고 있는 실정이며, 미국 식품의약안전청(FDA)의 허가를 받은 PLA, PLGA 조차도 연증유발에 관해 보고되고 있

다.^{4,5)} 이러한 문제점의 해결방법으로, 생분해성 고분자에 생체친화성이 매우 높며 광흡수성 세라믹인 hydroxyapatite (HAp) 및 TCP 등을 복합화 하는 방법이 제시되고 있는데, 생체친화성이나 뼈의 접합에도 긍정적인 영향을 미친 것으로 기대된다.^{6,7)}

재료의 합성에 있어서 마이크로파는 재래식 가열과는 달리 선택적 가열, 내부 부피 가열이 가능하고 반응시간을 단축시킬 수 있다.⁸⁾ 마이크로파를 이용한 세라믹의 합성 및 고분자의 합성에 관한 연구는 많이 보고되고 있으나,^{9,10)} β -TCP/PLGA 복합체와 같은 세라믹/고분자 복합체의 합성에 관한 연구는 매우 드문 실정이다.

따라서, 본 연구에서는 비교적 낮은 온도와 짧은 반응시간으로 합성이 가능한 마이크로파를 이용하여 in-situ polymerization으로 생분해성 β -TCP/PLGA 복합체를 제조하였고, 복합체 제조시 β -TCP의 첨가량에 따른 β -TCP/PLGA 복합체의 문자량, 결정형, 미세구조, 기계적 특성을 분석하였다.

2. 실험 방법

본 연구에서 사용된 β -TCP는 Calcium nitrate (Ca

E-Mail : syy3@pusan.ac.kr

$(NO_3)_2 \cdot 4H_2O$, Shinyo Pure Chemicals Co., Ltd., 98.5%)와 Ammonium phosphate, Dibasic ($(NH_4)_2HPO_4$, Junsei Chemical Co., Ltd., 99.0%)을 출발물질로 하여 합성하였다. 0.3M $Ca(NO_3)_2 \cdot 4H_2O$ 와 0.2M $(NH_4)_2HPO_4$ 를 각각 이차이온 중류수에 녹인 후 두 용액을 혼합하여 침전물을 생성시키고 암모니아수-(NH_4OH , Junsei Chemical Co., Ltd., 28%)를 첨가하여 pH 10이 되도록 하여 상온에서 5시간 동안 에이징하였다. 용액으로부터 침전물을 분리하고 100°C에서 24시간 동안 건조한 후 800°C에서 2시간 동안 하소하였다.

L-lactide (PURAC, Holland)와 Glycolide (PURAC, Holland)는 ethyl acetate로 재결정시켜 사용하였다. L-lactide와 Glycolide를 75:25의 비율로 혼합하고, 140°C로 가열하여 완전히 녹인 후 β -TCP 침가량에 따른 영향을 알아보기 위하여 β -TCP를 5, 10, 20, 30 wt.%로 변화시켜 첨가하여 분산시키고 개시제로 Stannous octoate (Sigma-Aldrich, Inc., USA, 95%)를 사용하여 Microwave (2.45 GHz, 3 kW, Hankuk Microwave Co., Korea)에서 100 W 출력으로 2시간 동안 중합하였다. 복합체 제조의 전체적인 공정도를 Fig. 1에 나타내었다.

TCP precursor의 온도에 따른 중량변화 및 상전이점을 분석하기 위해 열중량분석기(TG/DTA, DTG-60H, Shimazu, Japan)를 사용하였고, 합성된 분말의 결정상을 관찰하기 위해 X-선 회절분석장치(XRD, D/max-IIA, Rigaku, Japan)을 통해 분석하였다. 합성된 분말의 형상은 주사전자현미경(SEM, HITACHI S-4200, Japan)으로 관찰하였고, 입도분포는 입자크기분포 측정장치(PSA, Sedigraph 5100, Micromeritics, USA)를 이용하여 분석하였다. 제조된 복합체의 결정상 및 형상은 XRD와 SEM으로 분석하였고, 분자량은 gel morphology chromatography (GPC, Styragel HT, Waters, USA)를 사용하여 tetrahydrofuran (THF)에 녹여 상온에서 유속 1.0 ml/min으로 분석하였다. 제조된 복합체의 3점 굽힘강도는 만능 시험기(UTM, DW-TSM-20, Korea)로 측정하였고, Young's modulus는 10 g 하중 하에서 Knoop 경도기

(MMT-7, Matsuzawa, Japan)로 경도를 측정하여 계산하였다.¹²⁾

3. 결과 및 고찰

Fig. 2는 TCP precursor의 TG/DTA 분석결과로, 100°C와 300°C에서의 벌열피크, 그리고 790°C와 1200°C에서의 흡열피크가 나타났으며, 상온에서 800°C 까지 중량감소가 일어났다. 이때, 790°C까지의 중량감소는 수분 및 휘발성 성분의 휘발에 의해 나타난 것으로 판단되며, 790°C에서의 흡열피크는 칼슘결준 수산화아파타이트에서 β -TCP와 H_2O 로 분해에 의한 것으로 보인다. 한편, 중량감소 없이 1200°C에서의 흡열피크는 β -TCP에서 α -TCP로 상전이에 의한 것으로 판단된다.^{13,14)}

TCP의 열분석 결과를 토대로, 칼슘결준 수산화아파타이트로부터 β -TCP를 얻기 위하여 하소온도를 800°C 이상으로 설정하였다. Fig. 3은 800°C 온도에서 2시간 동안 하소한 TCP precursor의 XRD 분석 및 SEM 관찰결

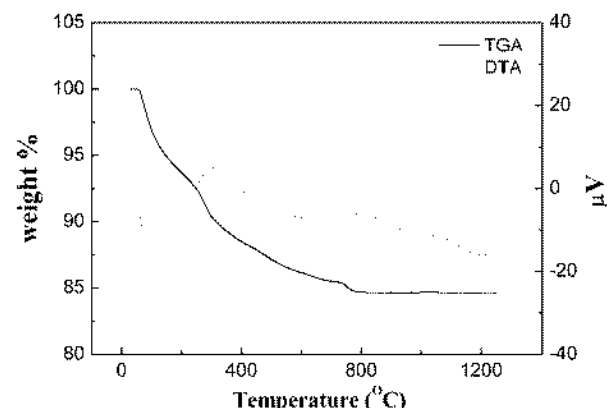


Fig. 2. TG/DTA curves of TCP precursor.

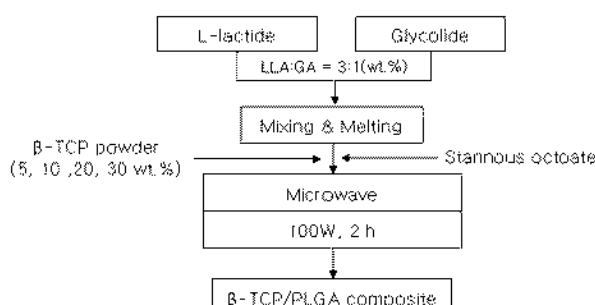
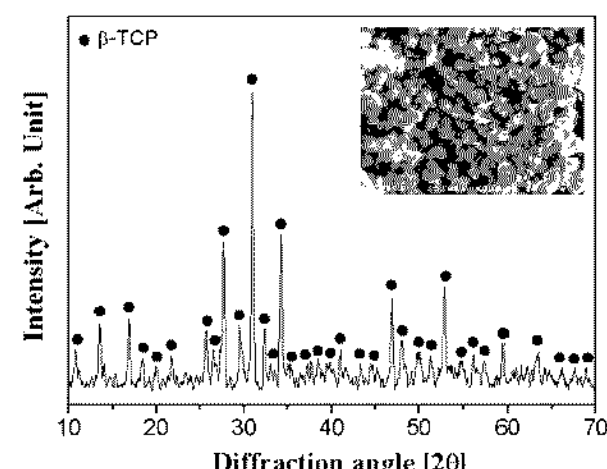


Fig. 1. Diagram for the preparation of β -TCP/PLGA composites.

Fig. 3. XRD pattern and SEM morphology of TCP precursor calcined at 800°C for 2 h.

과이다. XRD pattern으로부터, 합성된 분말은 β -TCP 결정상을 가지고 있음을 알 수 있었다. 이는 calcium nitride와 ammonium phosphate로부터 반응식 (1)과 (2)를 거쳐 TCP가 형성되어진 것으로 판단된다. 이때 합성된 TCP의 분말은 다소 불규칙한 형상을 나타냈으며, 평균입경은 $4.1\text{ }\mu\text{m}$ 이었다.

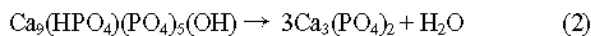
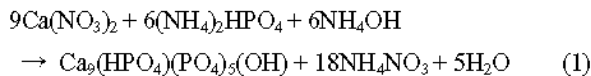


Fig. 4는 복합체를 합성하기 전 PLGA와 β -TCP/PLGA 복합체의 XRD 분석 및 미세구조 관찰결과이다. Fig. 4(a)는 마이크로파를 사용하여 2시간 반응에서 in-situ polymerization 공정으로 PLGA 중합체가 합성된 것을 알 수 있다. 이는 재래식 열원을 이용 시 6시간 이상의 합성시간에 비하여 비교적 짧은 반응시간에서 중합체 합성 가능성을 보이고 있다. 합성된 PLGA의 주상은 비정질이었으며, 저각(20° 미만)에서 약한 결정상이 나타났다. 이는 앞선 연구자의 결과와 일치한다.^{15,16)} Fig. 4(b)는 PLGA에 β -TCP를 무게중량 30 wt.%를 첨가하여 합성한 복합체의 결정성 및 미세구조를 나타내고 있다. 그림에서 볼 수 있듯이, PLGA와 β -TCP의 결정상이 공존하고 있으며, 비정질상의 PLGA matrix에 β -TCP 분말이 비교적 잘 분산되어 있음을 알 수 있다.

β -TCP 첨가량에 따른 β -TCP/PLGA 복합체의 분자량의 변화를 Fig. 5에 나타내었다. β -TCP의 첨가량이 10 wt.%까지는 복합체의 분자량이 감소함을 볼 수 있는데, 이는 β -TCP 분말 입자가 PLGA의 중합을 방해하였기 때문으로 여겨진다.¹⁷⁾ 그러나, β -TCP의 첨가량이 더욱 증

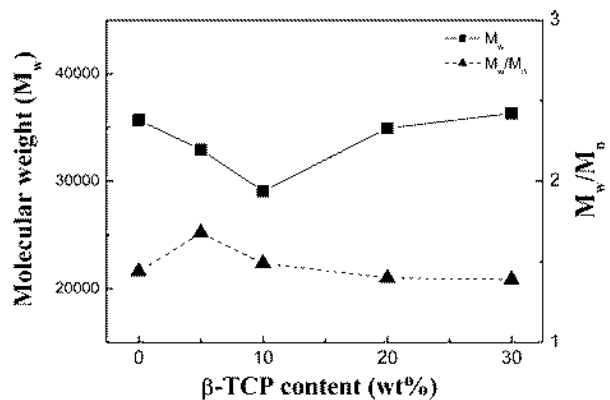


Fig. 5. Molecular weight of PLGA and β -TCP/PLGA composites.

가함에 따라 β -TCP의 첨가량이 10 wt.%까지의 경향과는 달리 합성된 β -TCP/PLGA 복합체의 분자량이 증가함을 볼 수 있는데, 이는 마이크로파에 의한 superheating effect 또는 nonthermal effect로 추정된다.¹⁸⁻²¹⁾ 합성된 복합체의 다분산성 지수(M_w/M_n)는 1.39~1.68로 나타났으며, 이 값은 일반적인 다분산 고분자의 범위(1.5~2.0)보다 다소 좁은 범위를 보인다. 이는 β -TCP의 첨가량에 크게 관계없이 합성된 β -TCP/PLGA 복합체가 비교적 균일하게 중합되었음을 의미한다.

β -TCP의 첨가량에 따른 β -TCP/PLGA 복합체의 굽힘 강도와 Young's modulus를 Fig. 6과 Fig. 7에 나타내었다. 고분자물질의 강도가 분자량에 의존하는 일반적인 경향과 같이 β -TCP/PLGA 복합체의 굽힘강도와 Young's modulus가 PLGA의 분자량에 의존하고 있음을 알 수 있다. 그러나 β -TCP의 첨가량이 10 wt.% 이상에서는 PLGA의 분자량에 비해 굽힘강도가 낮게 나타나는데, 이는 고분자 물질에 충전제를 첨가하면 고분자 사슬 사이

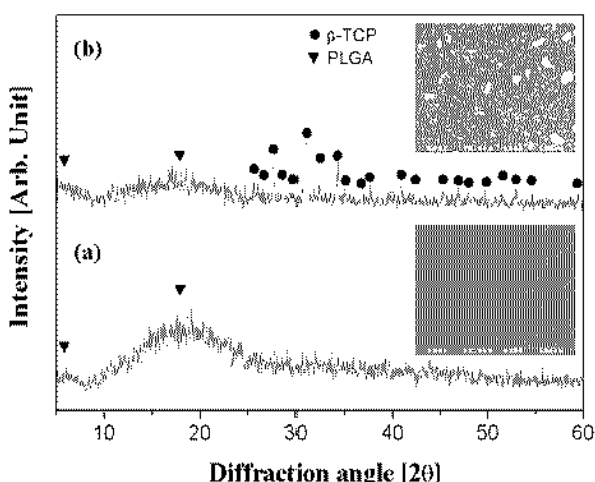


Fig. 4. XRD patterns and SEM morphologies of (a) PLGA and (b) 30 wt.% β -TCP/PLGA composite.

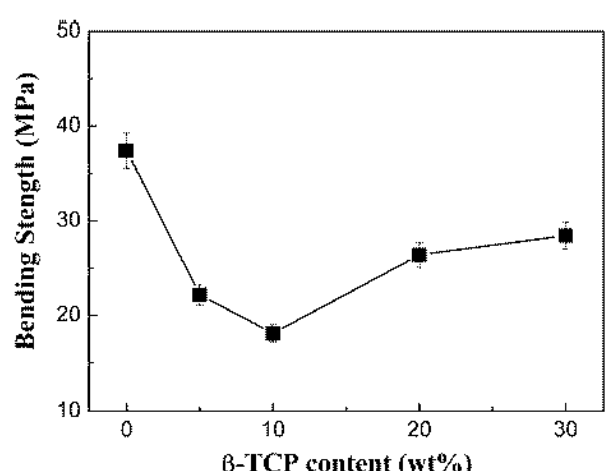


Fig. 6. Bending strength of PLGA and β -TCP/PLGA composites.

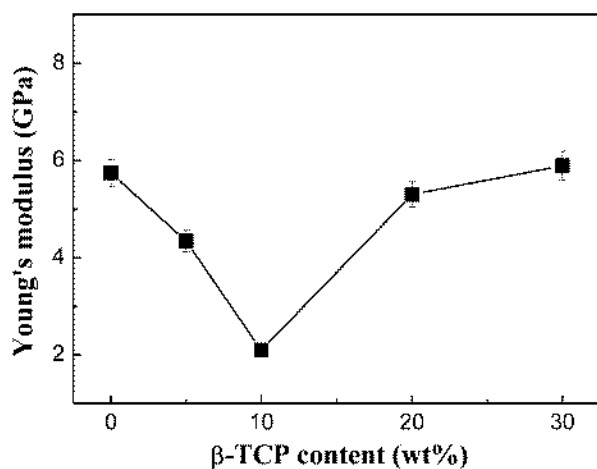


Fig. 7. Young's modulus of PLGA and β -TCP/PLGA composites.

에 침투하여 고분자 고유의 유연성이 감소하여 부서지기 쉬운 경향을 나타내기 때문으로 추정된다.²²⁾ 한편, β -TCP의 침가량이 5 wt%에서의 굽힘강도가 상대적으로 β -TCP의 침가량이 적음에도 불구하고 분자량에 비해 낮게 나타나는 이유는 다분산성 지수가 높으면 상대적으로 저분자량이 많아 강도를 저해시킨다는 일반적인 경향을 따른 것으로 판단된다.¹⁷⁾ 본 연구에서 합성된 β -TCP/PLGA 복합체의 굽힘강도는 18~38 MPa의 범위로 일반 치밀꼴 (50~150 MPa)에 비해 상대적으로 낮게 나타났으며, Young's modulus 또한 2~6 GPa의 범위로 일반 치밀꼴 (7~30 GPa)에 비해 상대적으로 낮게 나타났다. 결과적으로 고분자/무기 복합체의 기계적 특성은 복합체중 기저 물질인 고분자물질의 분자량에 매우 크게 의존함을 알 수 있었으며, 반응조건 변화를 통해 분자량을 제어함으로써 기계적 특성을 향상시킬 수 있을 것으로 생각된다.

4. 결 룰

β -TCP 분말은 $\text{Ca}(\text{NO}_3)_2 \cdot 4\text{H}_2\text{O}$ 와 $(\text{NH}_4)_2\text{HPO}_4$ 를 출발물질로 하여 공침법으로 합성하였으며, 생분해성 β -TCP/PLGA 복합체를 마이크로파를 이용하여 in-situ polymerization으로 합성할 수 있었다. β -TCP/PLGA 복합체의 분자량은 β -TCP의 침가량에 따라 변화하였고, β -TCP의 침가량이 10 wt.%까지는 감소하다가 10 wt.% 이상에서는 증가하는 경향을 보였다. 이는 마이크로파에 의한 super-heating effect 또는 nonthermal effect로 추정된다. 합성된 β -TCP/PLGA 복합체의 굽힘강도는 18~38 MPa, Young's modulus는 2~6 GPa이었으며, 결과적으로 고분자/무기 복합체의 기계적 특성은 복합체중 기저 물질인 고

분자물질의 분자량에 매우 크게 의존함을 알 수 있었다.

감사의 글

본 연구는 한국학술진흥재단이 지원하는 2004년도 선도연구자 지원사업에 의해 수행되었으며 이에 감사드립니다. (KRF-2004-041-D00338)

참 고 문 헌

- W. H. Akeson, S. L. Woo, L. Rutherford, R. D. Coutts, M. Goncalves and D. Amiel, *Acta Orthop. Scand.*, **47**, 241 (1976).
- T. Kissel, Y. Li and F. Unger, *ad. Drug. Deliv. Reviews*, **54**, 99 (2002).
- L. E. Claes, *Clin. Mater.*, **10**, 41 (1992).
- Z. Wang, S. Wang, Y. Marois, R. Guidoin and Z. Zhang, *Biomaterials*, **26**, 7387 (2005).
- K. T. Nguyen, N. Shaikh, K. P. Shukla, S. H. Su, R. C. Ederhart and L. Tang, *Biomaterials*, **25**, 5333 (2004).
- A. A. Ignatius, P. Augat and L. E. Claes, *J. Biomater. Sci. Polymer Edn.*, **12**, 185 (2001).
- K. Kesenci, L. Fambri, C. Migliaresi and E. Piskin, *J. Biomater. Sci. Polymer Edn.*, **11**, 617 (2000).
- I. J. Chabinsky, Application of Microwave energy past present and future, Materials Research Society, Pittsburgh, 107 (1998).
- Z. Cheng, X. Zhu, N. Zhou, J. Zhu and Z. Zhang, *Rad. Phys. Chem.*, **72**, 695 (2005).
- Z. Yang, Y. Jiang, Y. Wang, L. Ma and F. Li, *Mater. Lett.*, **58**, 3586 (2004).
- J. Liu, K. Li, H. Wang, M. Zhu and H. Yan, *Chem. Phys. Lett.*, **396**, 429 (2004).
- D. B. Marshall, T. Noma and A. G. Evans, *J. Am. Ceram. Soc.*, **65**, 175 (1982).
- N. Koc, M. Timucin and F. Korkusuz, *Ceram. Int.*, **30**, 205 (2004).
- S. H. Kwon, Y. K. Jun, S. H. Hong and H. E. Kim, *J. Eur. Ceram. Soc.*, **23**, 1039 (2003).
- K. Dillen, J. Vandervoort, G. V. der Mooter, L. Verheyden and A. Ludwig, *Inter. J. Pharm.*, **275**, 171 (2004).
- S. A. Seo, H. S. Choi, G. Khang, J. M. Rhee and H. B. Lee, *Inter. J. Pharm.*, **239**, 93 (2002).
- R. J. Yong and P. A. Lovell, *Introduction to Polymers*, Chapman-Hall, 69 (1995).
- J. U. Im, S. S. Hong, G. D. Lee and S. S. Park, *Korean. Chem. Eng. Res.*, **42**, 485 (2004).
- L. Perreux and A. Loupy, *Tetrahedron*, **57**, 9199 (2001).
- R. Saillard, M. Poux and J. Berlan, *Tetrahedron*, **51**, 4033 (1995).
- J. Jacob, L. H. L. Chia and F. Y. C. Boey, *J. Mater. Sci.*, **30**, 5321 (1995).
- J. H. Lee, Y. H. Lee, D. S. Lee, Y. K. Lee and J. D. Nam, *Polymer(Korea)*, **29**, 375 (2005).